

بررسی تغییرات جرم عناصر در توده گرانیتوییدی آستانه (جنوب باختر اراک)

نوشته: داریوش اسماعیلی* و سیده زهرا افشوی*

*دانشکده زمین‌شناسی، پردیس علوم، دانشگاه تهران، تهران، ایران

تاریخ پذیرش: ۱۳۸۶/۰۶/۲۲ تاریخ دریافت: ۱۳۸۶/۰۶/۱۰

چکیده

توده گرانیتوییدی آستانه با ترکیب اصلی گرانودیوریتی و سعیتی در حدود ۳۰ کیلومترمربع بخش کوچکی از زون سنتنچ-سیرجان را در ۴۰ کیلومتری اراک تشکیل داده است. این توده نفوذی به طور وسیعی متحمل دگرسانی گرمابی شده و دست کم شش زون دگرسانی سریستی، کلریتی، پروپیلتی، آرژیلتی، آلیتی و تورمالینی در آن قابل شناسایی است. محاسبات شاخص شیمیایی دگرسانی (CIA) نشان می‌دهد که زون دگرسانی سریستی ۶۳/۴۷٪، زون دگرسانی کلریتی ۵۹/۷۳٪، زون دگرسانی پروپیلتی ۶۱/۵۴٪، زون دگرسانی آرژیلتی ۶۳/۶۹٪، زون دگرسانی آلیتی ۶۰/۶۱٪ و زون دگرسانی تورمالینی ۶۵/۴۳٪ دستخوش دگرسانی گرمابی شده است. بررسی‌های تغییرات جرم عناصر براساس عنصر آلومینیم (به عنوان عنصر ناظر بری تحرک) نیز نشان می‌دهد که در تمام زون‌های دگرسانی این منطقه مقادیر قابل ملاحظه‌ای از اکسیدهای Fe_2O_3 , MgO , CaO , TiO_2 , Cs , Sr , Rb , K شسته و از سیستم خارج شده است. نتایج بدست آمده نشان می‌دهند که در زون‌های دگرسانی سریستی، آرژیلتی و تورمالینی به وسیله سیال‌های دگرسان کننده وارد می‌شوند. Al_2O_3 به دلیل ماهیت نامتحرك خود، تغییر جرم نشان نمی‌دهد. سایر اکسیدهای از جمله MnO , Na_2O , K_2O , P_2O_5 در زون‌های مختلف رفتارهای متفاوتی نشان داده و Sc و Y (HFSE) در تمام زون‌ها کاهش جرم دارند. از این گروه، Ga (به استثنای زون کلریتی) و U (به استثنای زون سریستی) از سیستم خارج شده‌اند. در زون فیلیک (سریستی) عناصر La , Ce , Pr , Nd و Eu دارند. سایر اکسیدهای از جمله Ho , Dy , Eu , Gd , Sm و Yb (MREE) افزایش و Lu (HREE) کاهش جرم نشان می‌دهند، در حالی که Tb و Lu هیچ‌گونه تغییر جرمی ندارند. در زون کلریتی به استثنای Eu و Yb که به سیستم اضافه شده است و Lu که تغییر جرم نشان نمی‌دهد، سایر عناصر REE از سیستم خارج شده‌اند. همچنین در سایر زون‌های دگرسانی مورد مطالعه، عناصر REE شسته شده‌اند.

کلید واژه‌ها: آستانه، دگرسانی گرمابی، تغییرات جرم، گرانیتویید

۱- مقدمه

پرتو X (XRF) برای عناصر اصلی و روش طیف‌سنگی جرمی گسلی پلاسمای جفتیده القایی (Inductively coupled plasma emission mass spectrometry - ICP-MS) برای عناصر کمیاب، در آزمایشگاه زمین‌شیمی Activation کشور کانادا انجام شده است نیز کمک گرفته شده است.

۲- زمین‌شناسی منطقه

توده نفوذی آستانه در بخش کوچکی از زون سنتنچ-سیرجان در باختر ایران در شیسته‌های سیاره‌نگ ژوراسیک تزریق شده است (شکل ۱). از لحاظ سنگ‌شناسی این توده دارای ترکیب غالب گرانودیوریتی بوده و از گرانیت تا کوارتزدیوریت تغییر می‌کند. بافت این سنگ‌ها دانه متوسط تا دانه درشت، پویکلیتی و در برخی مواد پورفیروپیلدی بوده و پلاژیوکلاز (آبیت)، کوارتز، فلدسپار قلایی (میکروکلین و ارتوکلاز)، بیوتیت و آمفیبول (هورنبلن)، آپاتیت، اسفن، زیرکن و تورمالین اجزای سازنده آنها را تشکیل می‌دهند. کانی‌های پلاژیوکلاز نزدیک به ۳۰-۴۰٪ حجم سنگ را تشکیل داده و شکل دار تا نیمه شکل دار و دارای ساختار منطقه‌ای است. فلدسپارهای قلایی حدود ۲۰٪ حجم سنگ را تشکیل می‌دهند و در برخی از نمونه‌ها حالت پرتیتی دارند. کوارتز فضای بین دانه‌ها را پر کرده است و حدود ۳۰-۳۵٪ سنگ را به خود اختصاص می‌دهد. آمفیبول و بیوتیت، به ترتیب ۱۲٪ و ۱۵٪-۲۰٪ سنگ را در بر می‌گیرند که در پاره‌ای از آمفیبول‌ها فرایند بیوتیتی شدن رخ داده است. کلریت، اپیدوت، سریست و کانی‌های رسی از کانی‌های تعزیزی و ثانویه هستند که تقریباً در بیشتر نمونه‌ها کم و بیش دیده می‌شوند. همچنین دایک‌های آپلتی، میکروگرانودیوریتی و آندزیتی و رگه‌های کوارتز-تورمالین کانی‌زایی شده متعددی

آنچه که غالباً در مطالعه زون‌های دگرسانی مورد بحث قرار می‌گیرد، مطالعه کانی‌های موجود در این زون‌ها و بررسی ویژگی‌های شیمیایی محلول‌های دگرسان کننده است (Carten, 1986; Lowenstein, 2001). اما در مطالعه و بررسی زون‌های دگرسانی یک سؤال مهم مطرح است و آن این که ترکیب شیمیایی سنگ منشاء (پروتولیت) چه بوده و در طی دگرسانی، متحمل چه تغییراتی شده است؟ بهمنظور پاسخ‌گویی به این پرسش‌ها مطالعات بسیاری (همگی بر منای تغییرات جرم) انجام شده است (به عنوان مثال: Brimhall & Ghiorso, 1983; Mori et al., 2003).

توده گرانیتوییدی آستانه در ۴۰ کیلومتری اراک، با مساحتی بالغ بر ۳۰ کیلومترمربع واقع است (شکل ۱). بخش اعظم این توده نفوذی از سنگ‌های گرانودیوریتی تشکیل شده که بخش‌هایی از آن دچار دگرسانی گرمابی وسیعی شده‌اند. اولین مطالعات سامانه‌ایک (سیستماتیک) و کامل در سال ۱۳۵۳ توسط برته و همکاران، در چهارگوشه خرم آبداد صورت گرفت که بخشی از این مطالعه به توده گرانیتوییدی آستانه اختصاص دارد. پس از آن نیز محققان مختلف این منطقه و یا مناطق همجوار را از منظرهای مختلف مورد بررسی قرار داده‌اند (به عنوان مثال: خوئی، ۱۳۶۱؛ رادف، ۱۳۶۶؛ هاشمی، ۱۳۸۰؛ سهندی و همکاران، ۱۳۸۵؛ اسماعیلی و افشوی، ۱۳۸۶). با وجود این، در هیچ کدام از تحقیقات پیشین، محاسبه تغییرات جرم و چگونگی تغییر جرم عناصر در طول فرایندهای دگرسانی گرمابی در توده نفوذی آستانه مورد توجه قرار نگرفته است، لذا در این پژوهش سعی شده است تا با محاسبه تغییرات جرم عناصر در طی فرایند دگرسانی در زون‌های مختلف، اطلاعات نسبتاً جامعی از چگونگی و علل این تغییرات ارائه شود. برای این منظور، ضمن بهره‌گیری از مطالعات صحرایی و بررسی بیش از ۱۰۰ نقطه نازک میکروسکوپی، از تجزیه شیمیایی تعداد ۱۳ نمونه از انواع مختلف سنگ‌های توده نفوذی آستانه (جدول ۱) که به روش فلورسانی

نمونه‌های شاهد به سهولت امکان پذیر است.

۱- زون فلیک (سریستی)

دگرسانی فلیک حاصل تأثیر محلول‌های اسیدی بر سنگ‌های غنی از کانی‌های آلومینیم دار است. در منطقه مورد مطالعه، این زون با مجموعه کانی‌شناسی کوارتز-سریست - پیریت مشخص می‌شود. دگرسانی سریستی در منطقه به صورت فراگیر بوده به گونه‌ای که همه فلDSPارهای سنگ به سریست تجزیه شده و گاهی دانه‌های سریست درشت تر شده و تبدیل به مسکوویت شده‌اند.

به منظور محاسبه تغییرات جرم در زون سریستی نمونه A1 به عنوان نمونه دگرسان شده در مقایسه با نمونه دگرسان نشده B5 (نمونه شاهد و نماینده ترکیب اولیه سنگ در این زون)، انتخاب شده است (جداول ۲). نتایج حاصل نشان می‌دهند که اکسیدهای مانند K_2O و SiO_2 در طی فرایند دگرسانی افزایش و در مقابل، اکسیدهای CaO ، MgO سلیکات‌های سدیم، کلسیم و میزیریم به وسیله سریست جایگزین می‌شوند. کمترین میزان تغییرات جرم در این زون دگرسانی متعلق به P_2O_5 و MnO است. LFSE، (K, Rb, Sr, Cs, Ba) در نتیجه شستشوی اسیدی حاصل از دگرسانی سریستی و به دلیل طبیعت متخرک خود شسته شده و از میزان آنها در نمونه دگرسان در مقایسه با نمونه سلم کاسته شده است (شکل ۳-ب). در گروه HFSEها Ga, Sc, Y, Nb کاهش Zr, Th, U و این زون افزایش جرم باقیماند (شکل ۳-ج). در این زون همچنین تمام MREEها (La, Ce, Pr, Nd) غنی‌شدگی نشان می‌دهند در حالی که گروه LREE رفتارهای متفاوتی از خود بروز می‌دهند به طوری که Sm, Eu, Gd و Dy افزایش و HO کاهش جرم نشان می‌دهند و Tb هیچ گونه تغییر جرمی نشان نمی‌دهد. از گروه Yb و Er افزایش و REEها افزایش و Tm و Lu بدون تغییر باقی مانده‌اند (شکل ۳-د). عناصر فلزی انتقالی نیز رفتارهای متفاوت نشان می‌دهند به طوری که Cr, Co, Fe افزایش جرم نشان می‌دهند (شکل ۳-ه).

۲- زون کلریتی

این زون دگرسانی که پس از سریستی شدن، فراگیرترین نوع دگرسانی در منطقه مورد مطالعه است، در شرایط مختلف pH و غنی بودن محلول از Fe و یا Mg می‌تواند تشکیل شود. مهم‌ترین پارامتر کانی‌شناسی مربوط به این نوع دگرسانی در منطقه عبارتند از کوارتز، کلریت، سریست و به مقدار کمتر کوارتز، کلریت و کلریت. در این مطالعه، نمونه‌های A2 و A3 به عنوان نمونه‌های دگرسان و میانگین نمونه‌های B1 و B2 (جداول ۲) به عنوان ترکیب اولیه سنگ در نظر گرفته شده است. محاسبات انجام شده براساس عنصر ناظر نامترک Al نشان می‌دهد که اکسیدهای SiO_2 , Fe_2O_3 , MgO , CaO , Na_2O , TiO_2 ضمن دگرسانی از سامانه دگرسانی گرمابی خارج شده‌اند و این در حالی است که K_2O و LOI افزایش جرم نشان می‌دهند (شکل ۴-الف). در زون دگرسانی کلریتی تمامی عناصر متعلق به گروه LFSE از جمله Ga, Zr, Th, Sc, Y, Nb, U و CaO کاهش جرم دارند (شکل ۴-ب). نشان می‌دهند (شکل ۴-ج). الگوی REEها در زون دگرسانی کلریتی در مقایسه با نمونه‌های دگرسان نشده نشان می‌دهند که تمامی REEها از جمله La, Ce, Pr, A3ها متفاوتند از کوارتز، کلریت، سریست و به این نسبت در زون دگرسانی کلریتی کاهش جرم نشان می‌دهند. Eu (به استثنای Eu) کاهش جرم نشان می‌دهند. REEها رفتارهای سنگین تقریباً نامترک هستند (شکل ۴-د). گروه FTSM (به استثنای Mn) که افزایش جرم نشان می‌دهد سایر اعضای این گروه از جمله Cr, Zn و Fe از محیط شسته شده

در این توده نفوذ کرده‌اند.

در منطقه مورد مطالعه دو نوع دگرگونی ناحیه‌ای و همیری دیده می‌شود. گسترده‌گی دگرگونی ناحیه‌ای بیشتر از دیگر دگرگونی‌هاست. سنگ‌های رسوبی تریاس بالایی-ژوراسیک (شیل و ماسه‌سنگ) در حد رخساره شیست سبز دگرگون شده‌اند و فیلیت و شیست ایجاد شده است. آثار دگرگونی همیری در باخت و جنوب آستانه دیده می‌شود و هورنفلس از مهم‌ترین محصولات این دگرگونی است.

۳- روش محاسبه تغییرات جرم عناصر و شاخص شیمیایی دگرسانی

شیوه‌های متعددی برای محاسبه تغییر جرم عناصر در سامانه‌های دگرسان توسعه و تکامل یافته‌اند که برای مثال می‌توان به روش ضرب ب حجم (Grant, 1986)، روش ایزوکون (Gresens, 1967)، روش ایزوکون (Nesbitt et al., 1980; MacLean, 1990; MacLean & Kranidiotis, 1987) اشاره کرد. در این بررسی برای دستیابی به فرایندهای زمین‌شیمیایی مرتبط با دگرسانی در توده گرانیتوییدی آستانه از روش زمین‌شیمیایی محاسبه تغییر جرم عناصر (MacLean, 1990) که بر مبنای (۱) عنصر ناظر نامترک، (۲) ضرب ب غنی‌شدگی و (۳) ترکیب بازسازی شده استوار است، بهره گرفته شده است. برای این منظور در این مطالعه، در هر زون دگرسانی، میانگین نمونه‌های دگرسان نشده در آن زون را به عنوان نمونه شاهد (ترکیب سنگ اولیه) منظور و A1 به عنوان عنصر ناظر نامترک انتخاب شده است. سپس ضرب غنی‌شدگی (E.F.) و ترکیب بازسازی شده (R.C.) و درنهایت تغییر جرم (M.C.) عناصر به ترتیب از روابط زیر محاسبه شده است (جداول ۲ و ۳):

(۱) فراوانی Al_2O_3 در نمونه دگرسان شده/فراوانی Al_2O_3 در نمونه دگرسان نشده = (E.F.)
 (۲) * فراوانی عنصر یا اکسید مورد نظر در نمونه دگرسان نشده = (R.C.)
 (۳) * فراوانی عنصر در ترکیب اولیه سنگ (نمونه شاهد) = (M.C.) = R.C.-
 به منظور محاسبه شاخص شیمیایی دگرسانی (Chemical Index of Alteration) نیز رابطه زیر مورد استفاده قرار گرفته است (Nessbitt & Young, 1982; Fedo et al., 1995)
 (۴) شاخص شیمیایی دگرسان = $[Al_2O_3/Al_2O_3 + CaO + Na_2O + K_2O] * 100$
 در مطالعه تغییرات جرم در طول دگرسانی این نکته قابل توجه است که هرگاه مقدار عناصر نامترک در نمونه‌هایی که کمتر دگرسان شده‌اند در اثر خروج عناصر مترک به طور نسبی غنی شوند جرم شبکه کاهش می‌یابد (net mass loss) و هنگامی که مقدار عناصر مترک به سنگ افزوده شوند در نتیجه مقدار عناصر نامترک در سنگ رقیق شده یا به عبارت دیگر کاهش می‌یابد که در این حالت شبکه افزایش جرم پیدا کرده است (net mass gain). بنابراین هدف از محاسبه تغییر جرم در طول دگرسانی تعیین افزایش یا کاهش جرم شبکه است که از روی بزرگی تغییرات عناصر مترک تعیین می‌شود (Grant, 1986).

۴- محاسبه تغییرات جرم عناصر و شاخص شیمیایی دگرسانی در توده نفوذی آستانه

معرفی و مطالعه کامل زون‌های دگرسانی مختلف در توده گرانیتوییدی آستانه (شکل ۲)، توسط اسماعیلی و افشنونی (۱۳۸۶) صورت گرفته است. در اینجا تغییرات جرم عناصر در نمونه‌های متعلق به زون‌های دگرسان نشده (ترکیب اولیه سنگ یا نمونه ناظر نامترک Al) نسبت به نمونه‌های دگرسان نشده (ترکیب اولیه سنگ یا نمونه شاهد) براساس بخش ۳ محاسبه و ارائه می‌شوند. لازم به ذکر است از آنجاکه شدت دگرسانی در بیشتر موارد تدریجی است و یک طیف تقریباً کامل از سنگ‌های دگرسان نشده تا سنگ‌های به شدت دگرسان شده قابل تشخیص است، لذا تشخیص

این زون مقادیر K₂O, TiO₂, SiO₂, Fe₂O₃, MnO, MgO, CaO کاهش و مقادیر Na₂O, P₂O₅ افزایش جرم نشان می‌دهند. در این زون بخشی از کاهش جرم مذکور در این سامانه را به دلیل اتحال و شستشوی آنها به بیرون از سامانه در نظر گرفت ولی افزایش جرم می‌تواند به انتقال اجزا به درون سامانه به وسیله سیال‌های گرمابی نسبت داده شود. محلول‌های پس‌ماگمایی سدیم‌دار منجر به افزایش عنصر سدیم در این تیپ دگرسانی می‌شود و این در حالی است که Al به خاطر ماهیت نامترک خود تغییر جرمی نشان نمی‌دهد (شکل ۷-الف). همچنین در نتیجه دگرسانی آلیتی همه LFSE‌ها از محیط شسته شده‌اند و کاهش جرم نشان می‌دهند (شکل ۷-ب) و در گروه HFSE به استثنای Zr و Nb که غنی‌شدگی نشان می‌دهند سایر عناصر متعلق به این گروه نیز از محیط شسته شده‌اند (شکل ۷-ج). به علاوه همه عناصر گروه REE (شکل ۷-د) و عناصر سری انتقالی (FTSM) از جمله Cr, Mn, Co, Zn, Fe نیز در جریان دگرسانی آلیتی از محیط خارج شده‌اند (شکل ۷-ه).

۴-۶- زون تورمالینی

این تیپ دگرسانی به جایگزینی و تبلور مآگماهای غنی از B مرتبط است (Pirajno, 1992). این نوع دگرسانی در توده گرانتیوییدی آستانه با جانشینی تورمالین (در اویت) همراه بوده و در برخی موارد کانی های مس دار از جمله مالاکیت و آزوрит در آنها به چشم می خورد.

بهمنظور محاسبه و بررسی تغییر جرم در زون دگرسانی تورمالینی، نمونه ۶ به عنوان نمونه دگرسان شده و میانگین نمونه های B3 و B6 به عنوان ترکیب اولیه سنتگ در نظر گرفته شده است (جدا اول و ۲). محاسبات و بررسی های انجام شده براساس عنصر ناظر نامتحر که Al نشان می دهد که اکسیدهای اصلی SiO_2 , Na_2O , P_2O_5 , Fe_2O_3 , MnO , MgO , CaO , K_2O , TiO_2 و LOI کاهش افزایش جرم و (شكل -۸ الف). در زون دگرسانی تورمالینی، جایگزینی و تبلور ماقماهای غنی از B منجر به خروج عناصر گروههای (K, Rb, Sr, Cs, Ba) LFSE (شکل -۸ ب) و (شكل -۸ ج) و (Ga, Sc, y, Zr; Nb, Th, U) HFSE (شکل -۸ ج) عناصر سری انتقالی (Cr, Mn, Co, Fe, Zn) FTSM (شکل -۸ ه) و REE ها (با استثنای Eu که افزایش جرم ناچیز نشان می دهد) (شكل -۸ د) از سامانه و کاهش جرم آنها شده است.

۵- محاسبه شاخص شیمیایی دگرسانی (CIA) در زون‌های دگرسانی

به منظور ارزیابی شدت دگرسانی گرمابی در زون‌های مختلف دگرسانی از شاخص شیمیایی دگرسان (CIA) که تابعی از مقادیر اکسیدهای K_2O , CaO , Na_2O و Al_2O_3 است، استفاده می‌شود (Nessbitt & Young, 1982; Fedo et al., 1995). نحوه محاسبه این شاخص در بخش ۳ ارائه شده است. نتایج به دست آمده از محاسبات شاخص شیمیایی دگرسانی (CIA) در انواع مختلف دگرسانی در توده گرانیتوییدی آستانه نشان می‌دهند که زون دگرسانی سریستی به میزان ۶۳٪/۴۷، زون دگرسانی کلریتی، ۵۹٪/۷۳، زون دگرسانی پروپیلیتی، ۶۱٪/۵۴، زون دگرسانی آژدیلیتی، ۶۳٪/۶۹، زون دگرسانی آلتیتی، ۶۰٪/۶۱ و در آخر زون دگرسانی تورمالینی ۶۵٪/۴۳، دستخوش دگرسانی شده‌اند (شکل ۹). بررسی تغییرات جرم Al_2O_3 نشان می‌دهد که سرشت نامحرک عنصر Al سبب می‌شود که این عنصر دستخوش تغییرات جرم نشود. میزان تغییر جرم CaO در برابر CIA روندی با شیب منفی نشان می‌دهد (شکل ۱۰-الف) و این فرایند حاکی از آن است که واکنش‌های کلسیم‌زدایی نقش مهم و چشمگیری در شکل گیری زون دگرسانی سریستی داشته است. بررسی تغییرات جرم اکسیدهای K_2O (شکل ۱۰-ب) و Na_2O (شکل ۱۰-ج) در برابر شاخص شیمیایی دگرسان نشان می‌دهند که با افزایش حجم K_2O و Na_2O CIA کاهش و با

و کاهش جرم نشان می دهد (شکل ۴-۵).

۴-۳- زون پروپیلیتی

دگرسانی پروپیلیتی با افزایش H_2O , CO_2 و S (به طور محلی)، بدون متاسوماتیسم قابل توجه H⁺ حاصل می شود (Pirajno, 1992).

در زون دگرسانی پروپیلیتی نمونه A7 به عنوان نمونه دگرسان و نمونه B4 (جداول ۲ و ۳) به عنوان ترکیب اولیه سنگ در نظر گرفته شده است. نتایج حاصل از بررسی تغییرات جرم براساس عنصر ناظر نامتحرک Al نشان می‌دهد که طی فرایندهای دگرسانی پروپیلیتی به وسیله سیال‌های گرمابی K_2O و LOI به سامانه دگرسانی وارد شده‌اند. دیگر اکسیدهای اصلی در این زون دگرسانی، کاهش HFSE و LFSE جرم نشان می‌دهند (شکل ۵-الف). در این زون تمامی عناصر به استثنای Nb و Zr که به مقدار ناچیز به سامانه دگرسانی اضافه شده‌اند، از محیط شسته شده و کاهش جرم نشان می‌دهند (شکل ۵-ب و ج). همچنین سیال‌های مسئول دگرسانی پروپیلیتی به گونه‌ای عمل کرده‌اند که همه عناصر REE را از محیط شسته و منجر به کاهش جرم نمونه‌های دگرسان در مقایسه با نمونه سالم شده‌اند (شکل ۵-د). عناصر فلزی انتقالی (FTSM، Cr، Manganese) نیز پس از دگرسانی پروپیلیتی از محیط شسته شده‌اند. (شکل ۵-ه).

۴-۴- زون آرژیلیتی

دگرسانی آرژیلیتی در شرایط اسیدی نسبتاً بالا و حضور حجم زیادی از آب در محیط تشکیل می‌شود (Titley & Bean, 1981). این دگرسانی هنگامی توسعه می‌یابد که شرایط محیط، بیوژ pH برای حرکت Al مناسب نیست. در توده گرانیتوبیدی آستانه، این تیپ دگرسانی پیشتر در فلدسپارهای پتاسیم‌دار (ارتولکلاز) و بهمقدار کمتر در پلاژیوکلازها دیده می‌شود که بهوسیله کانی‌های رسی (به طور عمدۀ ایلیت)، جانشین شده‌اند. کانولینیت، کوارتز و پیریت از فراوان‌ترین کانی‌های زون دگرسانی رسی، هستند (Cox et al., 1979).

به عنوان نمونه دگرسان و میانگین نمونه های B6 و B3 به عنوان ترکیب اولیه سنگ در نظر گرفته شده است (جداول ۲ و ۳). نتایج حاصل از بررسی تغییرات جرم براساس عنصر ناظر نامتحر ک Al نشان می دهد که طی فرایندهای دگرسانی آرژیلیتی Na_2O , SiO_2 , K_2O , P_2O_5 در این زون وسیله سیال های گرمابی به سامانه دگرسانی وارد شده اند. (شکل ۶-الف). محلول های اسیدی در این زون باعث شستشوی سایر اکسیدها در این زون شده است. سری عناصر LFSE, FTSM, HFSE و REE ها همگی تهی شده اند (شکل ۶-ب، ج، د و ه). سیال های مسبب دگرسانی آرژیلیتی موجب کاهش جرم این عناصر و شسته شدن آنها از محیط می شوند. تشکیل کانی های رسی به علت آبکافت (هیدرولیز) شدید سیلیکات های آلومینیم دار و فروشوبی اسیدی در زون دگرسانی آرژیلیتی منجر به خروج این عناصر در نمونه های دگرسان شده نسبت به نمونه های سالم می شوند.

۴-۵- زون آلبیتی

دگرسانی آلتی (معروف به متابوماتیسم سدیک) حاصل اضافه شدن سدیم از طریق محلول‌های گرمابی یا ماقمابی است. این نوع دگرسانی با جانشینی کوارتز و فلذسپار با آلیت همراه بوده و در برخی موارد با مسکوویتی شدن بیوتی‌ها همراه است (Van middelar & Keith, 1990).

به منظور محاسبه و بررسی تغییرات جرم در زون دگرسانی آلیتی براساس عنصر ناظر نامتحن ک A1 نمونه A4 به عنوان نمونه دگرسان شده و میانگین نمونه های B3 و B6 داریم. نتایج آزمایشات این نمونه ها در جدول ۱-۲ (جدول ۱-۲) آورده شده است.

همگی میزان مناسبی برای این عناصر هستند، اشاره کرد. به علاوه LREEها افزایش جرم و از میان Yb₂O₃, Er₂O₃, Tm₂O₃ غنی شدگی و Lu_{2} تهی شدگی نشان داده و همچ تغییر جرمی نشان نمی دهند (شکل ۳-د). تغییرات جرمی مشابهی در زون دگرسانی فیلیک توسط محققان دیگری نیز گزارش شده است (MacLean, 1988).

در زون دگرسانی کلریتی اکسیدهای SiO_2 , Fe_2O_3 , MgO , CaO , Na_2O , TiO_2 , K_2O و MnO به علت دگرسان شدن کانی های فرمونیزین به کلریت و دگرسان شدن پلازیو کلارز به سریسیت افزایش جرم نشان می دهند (شکل ۴-الف). عناصر متعلق به گروه LFSE کاهاش جرم دارند (شکل ۴-ب) این تغییرات می تواند به علت شباهت یونی در زون افزایش Sc, Y, Nb, U (شکل ۴-ج) از گروه HFSE با Ba_{2} , Rb_{2} , Cs_{2} , Sr_{2} باشد. در حالی که عناصر Th از گروه Ca_{2} , Zr_{2} , Ba_{2} باشد. این زون افزایش Sc, Y, Nb, U کاهاش جرم نشان می دهند (شکل ۴-ج). از گروه FTSW به استثنای Mn که افزایش جرم نشان می دهد سایر اعضای این گروه توسط محلول های غنی از Mg, Fe, Mg و یا Al از محیط شسته شده و کاهاش جرم دارند (شکل ۴-ه). همه گروه های MREE (با استثنای Eu) که افزایش جرم نشان می دهد) و LREEها کاهاش جرم نشان داده و HREEها تقریباً بدون تغییر باقی مانده اند (شکل ۴-د).

در زون دگرسانی پروپیلیتی، به استثنای K_2O و LOI که افزایش یافته اند، سایر اکسیدهای اصلی از سامانه خارج شده اند (شکل ۵-الف). در این زون همه عناصر متعلق به گروه های HFSE, LFSE (با استثنای Nb, Zr), عناصر REE و عناصر سری انتقالی کاهاش جرم یافته اند (شکل های ۵-ب، ج، د و ه). باور بر این است که در محلول های غنی از CO_2 عناصر خاکی کمیاب متخرک شده و از سنگ خارج می شوند (Wendlandt & Harison, 1979). تحرک کمتر REEها در زون های دگرسانی سریسیتی و پروپیلیتی به علت شرایط pH بالاتر و نسبت سنگ/آب پایین تر در این زون ها است (Fulignati et al., 1998).

در زون آرژیلیتی، سری افزایش SiO_2 , Na_2O , K_2O , P_2O_5 جرم نشان می دهند. شرایط اسیدی حاکم در تشکیل این زون می تواند عامل افزایش جرم عناصر مذکور در این زون باشد. در این زون، سری عناصر REE, HFSE, LFSE و FTSW به استثنای CO_2 متخرک شده اند (شکل های ۶-ب، ج، د و ه). صعود بخارهای حاصل از سردشدن توده های نفوذی که در طول سردشدن سرعی اسیدیته آنها به طور فزاینده ای افزایش یافته است و برخورد این بخارها (حاوی HF, HCl و SO_4^{2-}) با آب های جوی سرد باعث شسته شدن سنگ های اطراف و تشکیل زون دگرسانی آرژیلیتی می شود (Hemley & Hunt, 1992).

کاهاش جرم این عناصر و شسته شدن آنها از محیط است. فراوانی کمپلکس یونی SO_4^{2-} در سیال گرمابی و متلاشی شدن کانی های اولیه در نتیجه pH پس از پایین محیط منجر به تهی شدگی شدید REEها در این زون می شود (Fulignati et al., 1998).

در زون آلیتی K_2O , TiO_2 , MnO , MgO , CaO و Fe_2O_3 افزایش جرم یافته اند (شکل ۷-الف). در گروه HFSE به استثنای Zr که غنی شدگی نشان می دهنند، سایر عناصر متعلق به این گروه و همه LREEها از محیط شسته شده اند (شکل های ۷-ب و ج). سیال های پس ماگمایی یا گرمابی غنی از سدیم در این زون دگرسانی منجر به شسته شدن و تهی شدن همه عناصر گروه REE و عناصر سری انتقالی (FTSM) شده است (شکل های ۷-د و ه).

در زون تورمالینی اکسیدهای اصلی Fe_2O_3 , MnO , P_2O_5 , SiO_2 , Na_2O افزایش CaO , K_2O , TiO_2 , MgO و LOI کاهاش جرم نشان می دهنند (شکل ۸-الف). همچنین عناصر گروه های LFSE, HFSE که افزایش جرم ناچیز نشان می دهد) از سامانه خارج و کاهاش جرم نشان می دهند (شکل های ۸-ب، ج، د و ه). این تغییرات در اثر جایگزینی و تبلور ماگماهای غنی از B که منجر به تشکیل تورمالین و تخریب پلازیو کلارز ها در این زون شده، حاصل شده است.

افزایش جرم Na_2O , CIA افزایش یافته است.

۶- بحث و نتیجه گیری

امکان تحرک عناصر اصلی و برخی از عناصر کمیاب در طی فرایند دگرسانی گرمابی مورد قبول بیشتر زمین شناسان است. تحرک عناصر کمیاب به وسیله تغییرات کانی شناسی که در طی دگرسانی صورت می گیرد و ماهیت فاز سیال، کترول می شود. عناصر لیتوفیل با شاعع یونی بزرگ (LIL) مانند Sr, Rb, Ba, Cs, Eu^{2+} به دلیل پایین بودن پتانسیل یونی، پتانسیل متخرک شدن دارند و هرچه پتانسیل یونی کمتر باشد، میزان تحرک در آنها بیشتر خواهد بود (Mason & Moore, 1982). نقاط بلور شناختی در عناصر سری انتقالی (FTSM) دارای سطوح انرژی مختلف بوده و بنابراین رفتار زمین شیمیایی مختلفی از خود نشان می دهند. تحرک این عناصر بستگی به پایداری فازهای سیلیکاتی مافیک مانند کلینوپیروکسن، آمفیبیول و کلریت دارد. فلزهای واسطه Mn, Zn, Cu میل به تحرک، بویژه در دماهای بالا دارند (Seewald & Seyfried, 1990).

در هر حال تحرک پذیری این عناصر می تواند در مقیاس میکرو (مقطع نازک) و یا در ارتباط با اتحال کانی های حاوی این عناصر باشد که در سنگ دگرسان شده حضور دارند. غلظت شدن و رقیق شدن این عناصر می تواند در اثر افزایش یا کاهاش سازهای متخرک مانند Fe_2O_3 , MgO (باشد. وجود کانی های زیرکن و روتیل در سنگ های دگرسان شده شاهد قوی در متخرک بودن Zr و Ti در این سنگ هاست (Pascual, 1997).

متخرک یا نامتخرک بودن عناصر خاکی کمیاب (REEs) در طی دگرسانی گرمابی بیشتر مورد بحث و اختلاف نظر محققان بوده است. به نظر برخی از محققان، عناصر خاکی کمیاب (REEs) نامتخرک بوده و فرایند های همچون شستشو (Palacios et al., 1986) و دگرسانی گرمابی بر آنها تأثیرگذار نیست (Leaching). در صورتی که مطالعات انجام شده بر روی نهشته های اپی ترمال و مس پورفیری نشان دادند که این عناصر در شرایط خاص، از جمله pH پایین، نسبت سنگ/آب بالا و فراوانی کمپلکس های یونی CO_3^{2-} , F^- , Cl^- , PO_4^{3-} , SO_4^{2-} متخرک می شوند (Wood, Michard, 1989; Alderton et al., 1980). همچنین به اعتقاد (Michard, 1989; Alderton et al., 1980) REEها غالباً در شرایط اسیدی بیشتر با Cl^- و SO_4^{2-} تشکیل کمپلکس داده و متخرک می شوند. تفرقی LREEها از HREEها نیز در طی دگرسانی به کانی شناسی سنگ دگرسان نشده بستگی دارد، برای مثال از کانی های مانند آپاتیت و فسفات ها که راحت تر دگرسان می شوند، REE آزاد شده ولی در کانی های مقاوم مانند زیرکن حفظ می شوند (Rollinson, 1993).

تلقیق نتایج حاصل از بررسی های کانی شناسی، محاسبه شاخص شیمیایی دگرسانی و محاسبات تغییر جرم عناصر اصلی، کمیاب و فلزی در فرایند های دگرسانی گرمابی براساس عنصر ناظر نامتخرک AI نشان می دهد که در نتیجه تأثیر محلول های اسیدی در زون دگرسانی فیلیک (سریسیتی)، اکسیدهای SiO_2 , K_2O و LOI افزایش Fe_2O_3 و SiO_2 , K_2O , TiO_2 , MgO , CaO , Na_2O , P_2O_5 کاهاش جرم یافته اند (شکل ۳-الف). نقش سیال های اسیدی در ایجاد دگرسانی سریسیتی و حضور سیلیس به شکل های مختلف در درزهای رگه رگچه ها، در امتداد رخ کانی ها و به صورت سیلیس ثانویه، سبب افزایش جرم SiO_2 در این زون شده است. افزایش K_2O و کاهاش Na_2O در زون فیلیک را می توان به سریسیتی شدن پلازیو کلارزها نسبت داد. در این زون HFSE ها در نتیجه شستشوی اسیدی حاصل از دگرسانی سریسیتی و به دلیل ماهیت متخرک خود در چنین شرایطی شسته شده و کاهاش جرم یافته اند (شکل ۳-ب). همچنین در G_{2} , Sc_{2} , Y_{2} , Nb_{2} , Th_{2} , Zr_{2} , Al_{2} , HFSE ها افزایش جرم نشان می دهنند (شکل ۳-ج). از دلایل غنی شدگی REEها در این زون می توان به تشکیل کانی آپاتیت و اسفن و حضور کانی زیرکن که

سپاسگزاری

از شورای محترم پژوهشی پرديس علوم دانشگاه تهران به دليل در اختیار قرار دادن بخشی از هزينه مالي اين پژوهش (طرح نوع ششم) تشکر می شود. همچنین از آفایان دکتر على عابدیني و دکتر على اصغر کلاگری اعضای محترم هیئت علمی دانشگاه تبریز به خاطر توصیه های ارزشمندان سپاسگزاریم.

جدول ۱- نتایج تجزیه شیمیایی عناصر اصلی، فرعی و فلزی در سنگ های گرانیتوییدی آستانه

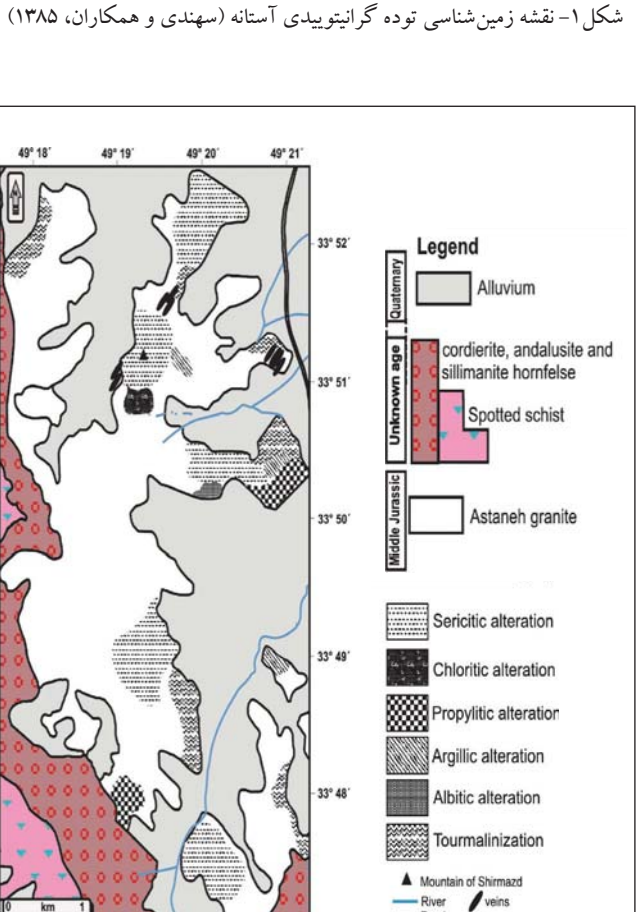
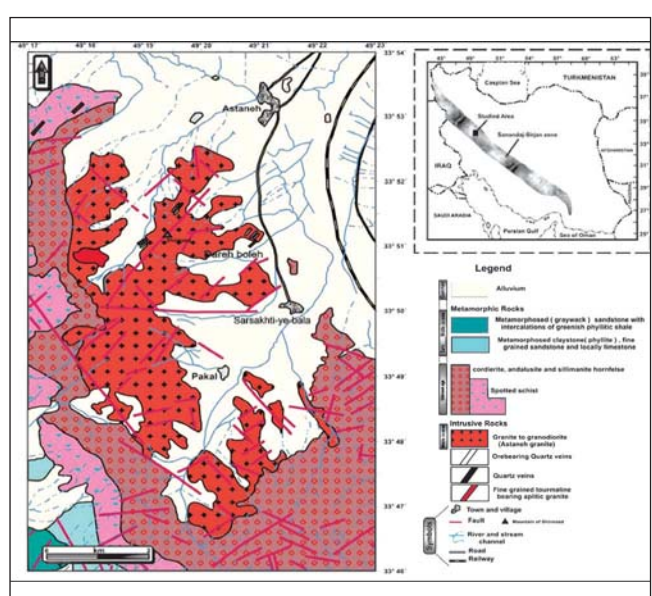
سنگهای آلتنه شده												
نورمالیته آلتنه بر پریولیتی کلینی پریولیتی												
نورمالیته آلتنه بر پریولیتی کلینی سرسیستی												
A1	A2	A3	A7	A5	A4	A6	B1	B2	B3	B4	B5	B6
%												
SiO ₂	59.33	59.31	59.71	59.34	59.47	59.78	59.43	59.57	59.23	59.19	59.38	59.87
TiO ₂	0.35	0.34	0.31	0.39	0.36	0.37	0.36	0.38	0.35	0.36	0.37	0.31
Al ₂ O ₃	15.77	15.65	15.92	15.92	15.43	15.76	15.37	15.99	15.19	15.74	15.74	15.12
Fe ₂ O ₃	7.78	7.47	7.49	5.46	11.77	8.88	7.47	7.79	9.33	7.05	7.2	7.37
MnO	0.072	0.072	0.071	0.113	0.072	0.073	0.111	0.072	0.072	0.071	0.070	0.072
MgO	0.73	1.61	1.69	2.74	0.74	0.74	0.71	1.02	1.17	2.98	1.74	1.77
CaO	18.18	17.43	17.11	17.77	18.9	18.51	18.21	17.17	17.81	17.41	17.81	17.81
Na ₂ O	2.05	2.07	2.07	2.07	2.01	2.06	2.05	2.11	2.08	2.05	2.05	2.05
K ₂ O	3.12	3.22	3.01	3.09	3.11	3.09	3.05	3.11	3.07	3.01	3.07	3.07
P ₂ O ₅	0.1	0.11	0.11	0.1	0.19	0.15	0.18	0.11	0.11	0.14	0.12	0.11
LOI	1.74	1.74	1.74	1.74	1.74	1.74	1.74	1.74	1.74	1.74	1.74	1.74
K	0.4	0.11	0.11	0.72	0.13	0.07	0.08	0.05	0.06	1.19	0.05	0.05
Fe	1.6	2.04	2.05	2.05	1.74	0.66	0.3	2.07	2.01	2.03	2.05	2.05
ppm												
Rb	28.6	15	12	24.2	5.7	5.6	4.9	24.7	75.6	80.5	45	59.4
Cs	1.9	1.15	1.15	1.15	1.15	1.15	1.15	1.15	1.15	1.15	1.15	1.15
Sr	11.6	16	19.8	20.6	3.9	5	9.2	22.4	14.2	22.5	11.1	20.5
Ba	35.7	32.1	32.1	32.1	32.1	32.1	32.1	32.1	32.1	32.1	32.1	32.1
Zr	0.5	1	1.2	0.3	0.2	0.2	0.2	0.2	0.2	0.2	0.2	0.2
Nb	0.075	0.3	0.3	0.3	0.075	0.075	0.075	0.075	0.075	0.075	0.075	0.075
Th	11.3	11.1	11.9	12	5.2	14.9	3.7	8	14.5	17.8	11.5	9.9
U	2	1.8	1.2	2.6	0.9	0.9	1.2	1.7	3.9	3.7	1.2	1.3
Sc	0.075	0.075	0.075	0.075	0.075	0.075	0.075	0.075	0.075	0.075	0.075	0.075
Cr	0.51	11.5	11.5	7.5	15.7	7.4	13.2	26.9	18.7	26.7	11.1	18.1
Mn	2.7	2.8	2.8	2.8	2.7	2.7	2.7	2.7	2.7	2.7	2.7	2.7
Co	0.5	0.7	0.7	0.7	0.7	0.7	0.7	0.7	0.7	0.7	0.7	0.7
Zn	9.97	17.7	17.7	25	0.9	1.6	2.7	25.5	27.1	27.1	12.5	22.7
Ga	3.26	5.22	5.07	7.65	0.79	1.01	0.95	7.49	9.93	9.97	8.51	7.77
Y	10.5	15.9	9.1	15.2	5.05	5.05	5.05	9.17	15.2	15.2	5.05	10.3
La	27.9	9.3	8.5	11.9	5.9	5.5	4.5	11.4	17.2	24.6	8.7	18.7
Ce	84.7	18.7	18.7	18.7	18.7	18.7	18.7	18.7	18.7	18.7	18.7	18.7
Pr	0.2	1.8	2.9	1.2	0.2	0.2	1.1	2.4	2.9	2.9	1.9	2
Nd	17.6	9.49	7.68	11.2	2.88	1.87	1.87	7.67	12.4	17.5	7.67	12.1
Sm	3.2	1.5	1.5	2.7	1.2	0.5	1.1	1.8	0.5	0.5	1.5	2.8
Eu	0.5	0.2	0.2	0.2	0.2	0.2	0.2	0.2	0.2	0.2	0.1	0.1
Gd	7.9	1.6	1.6	2.7	1.1	0.7	1.1	1.8	2.7	2.7	1.5	2.7
Tb	0.3	0.1	0.1	0.2	0.1	0.1	0.1	0.1	0.1	0.1	0.1	0.1
Dy	1.45	1.22	1.03	2.4	1.18	0.711	0.783	1.94	2.49	2.49	1.37	2.1
Ho	0.3	0.3	0.3	0.5	0.2	0.1	0.1	0.3	0.6	0.6	0.3	0.3
Er	1	0.9	0.9	1.2	0.6	0.6	0.6	1	1.2	1.2	0.8	1
Tm	0.1	0.1	0.1	0.2	0.075	0.075	0.075	0.1	0.2	0.2	0.1	0.1
Yb	1	0.8	0.9	1.3	0.5	0.3	0.2	0.8	1.3	1.3	0.7	0.9
Lu	0.1	0.1	0.1	0.2	0.075	0.075	0.075	0.1	0.2	0.2	0.075	0.1

جدول ۲- تغییر جرم اجزای اصلی نمونه های مختلف زون های دگرسانی توده

گرانیتوییدی آستانه که براساس جزء نامتر ک ر ا م حاسبه شده است
=R.C. =Tغیر جرم، C=M.C. =E.F. =Tr کیب بازسازی شده

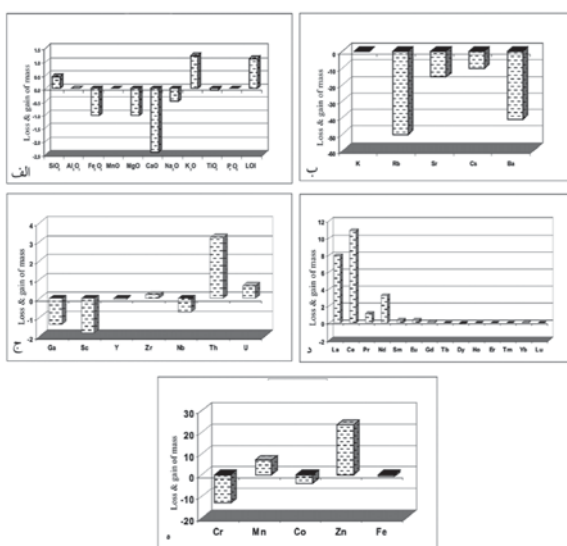
	سرسیستی R.C. M.C.%	کلریتی R.C. M.C.%	پروپولیتی R.C. M.C.%	آرژیلیتی R.C. M.C.%	آلیتی R.C. M.C.%	تورمالینی R.C. M.C.%						
SiO ₂	48/29	50/24	61/74	-7/15	64/48	-0/75	57/96	3/13	55/41	-14/24	71/19	2/16
TiO ₂	0.34	-0.07	0.37	-0.01	0.50	-0.05	0.09	-0.02	0.21	-0.07	0.07	-0.22
Al ₂ O ₃	15/4	0/0	14/46	0/0	14/30	0/0	14/19	0	14/19	0/0	14/19	0/0
Fe ₂ O ₃	27/3	-1/3	27/3	-0/28	5/69	-0/46	1/99	-1/79	0/72	-2/76	0/94	-2/54
MnO	0.02	0/0	0.04	0/1	0.11	-0/02	0/03	-0/03	0/02	0/02	0/01	-0/05
MgO	0.73	-0.1/4	1/24	-0/19	2/42	-0/54	0/43	-0/9	0/22	-0/91	0/22	-1/11
CaO	17/6	-2/24	2/75	-0/35	3/66	-0/74	0/48	-2/1	0/98	-1/61	0/56	-2/03
Na ₂ O	3/52	-0/5	3/69	-0/48	2/27	-0/28	2/05	0/17	7/90	0/52	6/3	2/21
K ₂ O	2/08	1/23	2/23	0/12	2/00	0/12	2/55	0/52	0/2	-3/69	0/64	-3/39
P ₂ O ₅	0/10	-0/01	0/11	0/0	0/10	-0/02	0/29	0/17	0/12	0/01	0/37	0/25
LOI	2/25	1/11	2/21	1/15	1/94	0/12	0/58	-0/51	1/21	0/11	0/74	-0/35
K	0/39	-0/24	0/13	-0/47	0/73	-0/24	0/13	-0/28	0/0	-0/55	0/08	-0/53
Fe	1/04	-0/08	1/92	-0/25	3/28	-0/45	0/24	-2/21	0/04	-1/91	0/29	-2/16
Total	102/01	-4/82	98/04	-7/95	106/18	-5/92	99/23	-7/4	83/54	-21/15	96/96	-9/99
E.F.	0/98	0/93	0/97	0/97	0/99	0/98	0/99	0/98	0/98	0/99	0/99	0/99

در تمام زون های دگرسانی منطقه (به استثنای زون سرسیستی) کاهش جرم نشان می دهد، و این بدان معناست که بخشی از Ce با ظرفیت +3 در ترتیب پتانسیل یونی کمتر و قدرت تحرک پیشتر همراه دیگر REE ها از محیط شسته و خارج شده است. Eu نیز در زون های پروپولیتی، آرژیلیتی و آلیتی کاهش جرم نشان می دهد بدان معنا که مقداری از Eu به صورت یون دو ظرفیتی بوده و در طی دگرسانی از سنگ شسته شده است.



شکل ۲- نقشه دگرسانی توده گرانیتوییدی آستانه

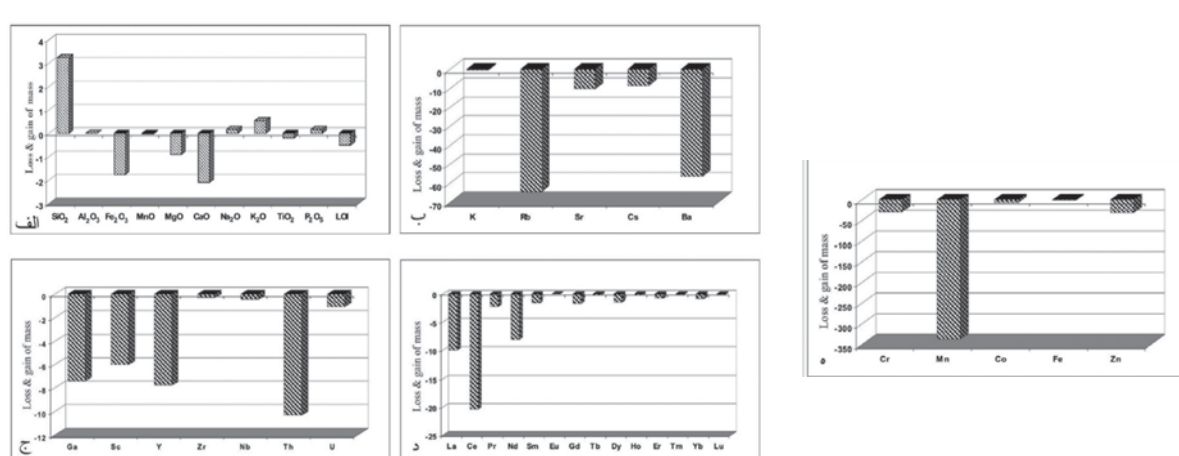
جدول ۳- تغییر جرم اجزای کمیاب نمونه های مختلف زون های دگرسانی توده گرانیتوبیدی آستانه که براساس جزء نامتحرك Al محاسبه شده اند؛
 ضریب غنی شدگی، $M.C = E.F$ = تغیر جرم، $R.C =$ ترکیب باسازی شده



شکل ۳- هیستوگرام های تغییرات جرم در زون دگرسانی سریستی؛ (الف) اکسیدهای اصلی، (ب) REE، (ج) HFSE، (د) LFSE، (ه) FTSM

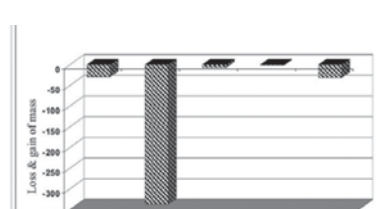
	نام	$R.C.$	$M.C.$	$E.F.$									
Rb	۰,۱۴	-۲,۰۷	-۱,۰۷	-۰,۹۷	-۰,۹۷	-۰,۹۷	-۰,۹۷	-۰,۹۷	-۰,۹۷	-۰,۹۷	-۰,۹۷	-۰,۹۷	-۰,۹۷
Cs	۰,۱۸	-۱,۰۷	-۰,۷۶	-۰,۷۶	-۰,۷۶	-۰,۷۶	-۰,۷۶	-۰,۷۶	-۰,۷۶	-۰,۷۶	-۰,۷۶	-۰,۷۶	-۰,۷۶
Sr	۰,۱۴۴	-۰,۵۷	-۰,۵۷	-۰,۵۷	-۰,۵۷	-۰,۵۷	-۰,۵۷	-۰,۵۷	-۰,۵۷	-۰,۵۷	-۰,۵۷	-۰,۵۷	-۰,۵۷
Ba	۰,۱۹۱	-۰,۴۹	-۰,۷۸	-۰,۷۸	-۰,۷۸	-۰,۷۸	-۰,۷۸	-۰,۷۸	-۰,۷۸	-۰,۷۸	-۰,۷۸	-۰,۷۸	-۰,۷۸
Zr	۰,۱۹	-۰,۱۹	-۰,۱۹	-۰,۱۹	-۰,۱۹	-۰,۱۹	-۰,۱۹	-۰,۱۹	-۰,۱۹	-۰,۱۹	-۰,۱۹	-۰,۱۹	-۰,۱۹
Nb	۰,۱۷	-۰,۷۶	-۰,۷۶	-۰,۷۶	-۰,۷۶	-۰,۷۶	-۰,۷۶	-۰,۷۶	-۰,۷۶	-۰,۷۶	-۰,۷۶	-۰,۷۶	-۰,۷۶
Th	۰,۱۱۳	-۰,۳۷	-۰,۳۷	-۰,۳۷	-۰,۳۷	-۰,۳۷	-۰,۳۷	-۰,۳۷	-۰,۳۷	-۰,۳۷	-۰,۳۷	-۰,۳۷	-۰,۳۷
U	۰,۱۸۷	-۰,۴۹	-۰,۴۹	-۰,۴۹	-۰,۴۹	-۰,۴۹	-۰,۴۹	-۰,۴۹	-۰,۴۹	-۰,۴۹	-۰,۴۹	-۰,۴۹	-۰,۴۹
Sc	۰,۱۷	-۰,۱۳	-۰,۱۳	-۰,۱۳	-۰,۱۳	-۰,۱۳	-۰,۱۳	-۰,۱۳	-۰,۱۳	-۰,۱۳	-۰,۱۳	-۰,۱۳	-۰,۱۳
Cr	۰,۰۷	-۰,۱۰	-۰,۱۰	-۰,۱۰	-۰,۱۰	-۰,۱۰	-۰,۱۰	-۰,۱۰	-۰,۱۰	-۰,۱۰	-۰,۱۰	-۰,۱۰	-۰,۱۰
Mn	۰,۰۷۸	۰,۰۸	۰,۰۸	۰,۰۸	۰,۰۸	۰,۰۸	۰,۰۸	۰,۰۸	۰,۰۸	۰,۰۸	۰,۰۸	۰,۰۸	۰,۰۸
Co	۰,۰۷۸	-۰,۰۷	-۰,۰۷	-۰,۰۷	-۰,۰۷	-۰,۰۷	-۰,۰۷	-۰,۰۷	-۰,۰۷	-۰,۰۷	-۰,۰۷	-۰,۰۷	-۰,۰۷
Zn	۰,۰۰۰	۰,۰۰۰	۰,۰۰۰	۰,۰۰۰	۰,۰۰۰	۰,۰۰۰	۰,۰۰۰	۰,۰۰۰	۰,۰۰۰	۰,۰۰۰	۰,۰۰۰	۰,۰۰۰	۰,۰۰۰
Ga	۰,۰۱۱	-۰,۱۰	-۰,۱۰	-۰,۱۰	-۰,۱۰	-۰,۱۰	-۰,۱۰	-۰,۱۰	-۰,۱۰	-۰,۱۰	-۰,۱۰	-۰,۱۰	-۰,۱۰
Y	۰,۰۰۰	-۰,۰۰۰	-۰,۰۰۰	-۰,۰۰۰	-۰,۰۰۰	-۰,۰۰۰	-۰,۰۰۰	-۰,۰۰۰	-۰,۰۰۰	-۰,۰۰۰	-۰,۰۰۰	-۰,۰۰۰	-۰,۰۰۰
La	۰,۰۰۰	۰,۰۰۰	۰,۰۰۰	۰,۰۰۰	۰,۰۰۰	۰,۰۰۰	۰,۰۰۰	۰,۰۰۰	۰,۰۰۰	۰,۰۰۰	۰,۰۰۰	۰,۰۰۰	۰,۰۰۰
Ce	۰,۰۰۰	۰,۰۰۰	۰,۰۰۰	۰,۰۰۰	۰,۰۰۰	۰,۰۰۰	۰,۰۰۰	۰,۰۰۰	۰,۰۰۰	۰,۰۰۰	۰,۰۰۰	۰,۰۰۰	۰,۰۰۰
Pr	۰,۰۰۰	۰,۰۰۰	۰,۰۰۰	۰,۰۰۰	۰,۰۰۰	۰,۰۰۰	۰,۰۰۰	۰,۰۰۰	۰,۰۰۰	۰,۰۰۰	۰,۰۰۰	۰,۰۰۰	۰,۰۰۰
Nd	۰,۰۰۰	۰,۰۰۰	۰,۰۰۰	۰,۰۰۰	۰,۰۰۰	۰,۰۰۰	۰,۰۰۰	۰,۰۰۰	۰,۰۰۰	۰,۰۰۰	۰,۰۰۰	۰,۰۰۰	۰,۰۰۰
Sm	۰,۰۰۰	۰,۰۰۰	۰,۰۰۰	۰,۰۰۰	۰,۰۰۰	۰,۰۰۰	۰,۰۰۰	۰,۰۰۰	۰,۰۰۰	۰,۰۰۰	۰,۰۰۰	۰,۰۰۰	۰,۰۰۰
Eu	۰,۰۰۰	۰,۰۰۰	۰,۰۰۰	۰,۰۰۰	۰,۰۰۰	۰,۰۰۰	۰,۰۰۰	۰,۰۰۰	۰,۰۰۰	۰,۰۰۰	۰,۰۰۰	۰,۰۰۰	۰,۰۰۰
Gd	۰,۰۰۰	۰,۰۰۰	۰,۰۰۰	۰,۰۰۰	۰,۰۰۰	۰,۰۰۰	۰,۰۰۰	۰,۰۰۰	۰,۰۰۰	۰,۰۰۰	۰,۰۰۰	۰,۰۰۰	۰,۰۰۰
Tb	۰,۰۰۰	۰,۰۰۰	۰,۰۰۰	۰,۰۰۰	۰,۰۰۰	۰,۰۰۰	۰,۰۰۰	۰,۰۰۰	۰,۰۰۰	۰,۰۰۰	۰,۰۰۰	۰,۰۰۰	۰,۰۰۰
Dy	۰,۰۰۰	۰,۰۰۰	۰,۰۰۰	۰,۰۰۰	۰,۰۰۰	۰,۰۰۰	۰,۰۰۰	۰,۰۰۰	۰,۰۰۰	۰,۰۰۰	۰,۰۰۰	۰,۰۰۰	۰,۰۰۰
Ho	۰,۰۰۰	۰,۰۰۰	۰,۰۰۰	۰,۰۰۰	۰,۰۰۰	۰,۰۰۰	۰,۰۰۰	۰,۰۰۰	۰,۰۰۰	۰,۰۰۰	۰,۰۰۰	۰,۰۰۰	۰,۰۰۰
Er	۰,۰۰۰	۰,۰۰۰	۰,۰۰۰	۰,۰۰۰	۰,۰۰۰	۰,۰۰۰	۰,۰۰۰	۰,۰۰۰	۰,۰۰۰	۰,۰۰۰	۰,۰۰۰	۰,۰۰۰	۰,۰۰۰
Tm	۰,۰۰۰	۰,۰۰۰	۰,۰۰۰	۰,۰۰۰	۰,۰۰۰	۰,۰۰۰	۰,۰۰۰	۰,۰۰۰	۰,۰۰۰	۰,۰۰۰	۰,۰۰۰	۰,۰۰۰	۰,۰۰۰
Vb	۰,۰۰۰	۰,۰۰۰	۰,۰۰۰	۰,۰۰۰	۰,۰۰۰	۰,۰۰۰	۰,۰۰۰	۰,۰۰۰	۰,۰۰۰	۰,۰۰۰	۰,۰۰۰	۰,۰۰۰	۰,۰۰۰
Lu	۰,۰۰۰	۰,۰۰۰	۰,۰۰۰	۰,۰۰۰	۰,۰۰۰	۰,۰۰۰	۰,۰۰۰	۰,۰۰۰	۰,۰۰۰	۰,۰۰۰	۰,۰۰۰	۰,۰۰۰	۰,۰۰۰
Total	۰,۰۰۰	۰,۰۰۰	۰,۰۰۰	۰,۰۰۰	۰,۰۰۰	۰,۰۰۰	۰,۰۰۰	۰,۰۰۰	۰,۰۰۰	۰,۰۰۰	۰,۰۰۰	۰,۰۰۰	۰,۰۰۰
E.F.	۰,۰۰	۰,۰۰	۰,۰۰	۰,۰۰	۰,۰۰	۰,۰۰	۰,۰۰	۰,۰۰	۰,۰۰	۰,۰۰	۰,۰۰	۰,۰۰	۰,۰۰

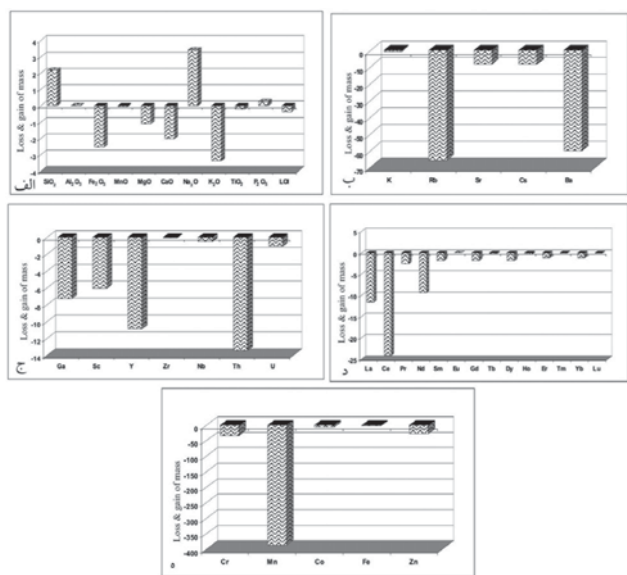
شکل ۵- هیستوگرام های تغییرات جرم در زون دگرسانی پروپیلیتی؛ (الف) اکسیدهای اصلی، (ب) REE، (ج) HFSE، (د) LFSE، (ه) FTSM



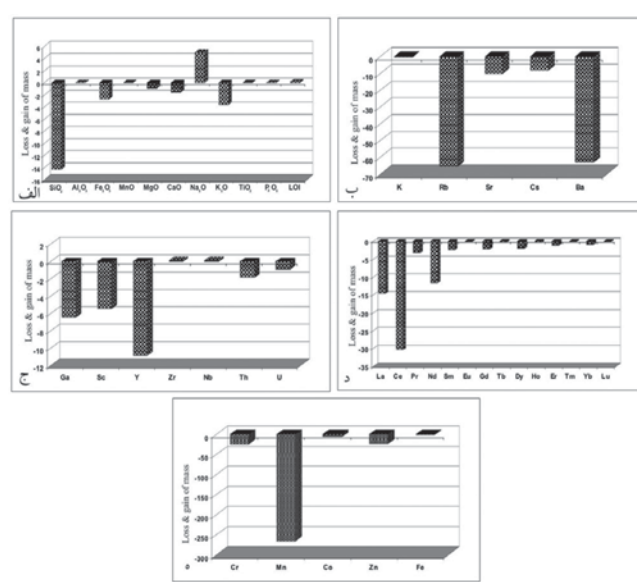
شکل ۶- هیستوگرام های تغییرات جرم در زون دگرسانی آرژیلیتی؛ (الف) اکسیدهای اصلی، (ب) اکسیدهای اصلی، (ج) HFSE، (د) LFSE، (ه) FTSM

شکل ۴- هیستوگرام های تغییرات جرم در زون دگرسانی کلریتی؛ (الف) اکسیدهای اصلی، (ب) REE، (ج) HFSE، (د) LFSE، (ه) FTSM

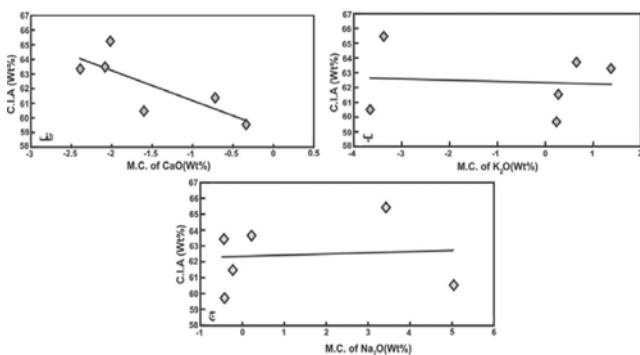




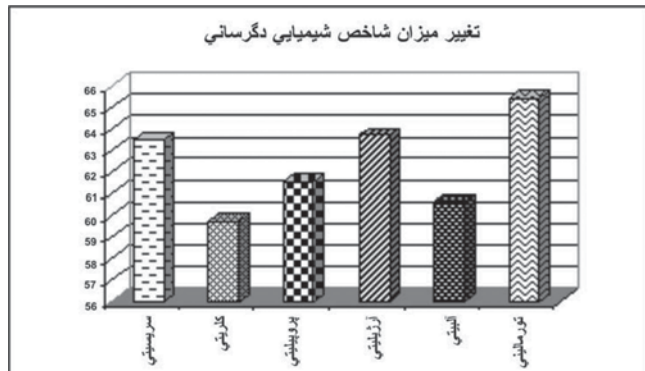
شکل ۸- هیستوگرام‌های تغییرات جرم در زون دگرسانی تورمالینی؛ (الف) اکسیدهای اصلی، (ب) LFTSM، (ج) LFSE، (د) REE، (ه) HFSE، (اه) REE، (د) HFSE، (اه) LFTSM، (ه) REE، (اه) HFSE، (ه) LFTSM



شکل ۷- هیستوگرام‌های تغییرات جرم در زون دگرسانی آلبیتی؛ (الف) اکسیدهای اصلی، (ب) LFTSM، (ج) HFSE، (اه) REE، (د) HFSE، (اه) LFTSM



شکل ۱۰- نمودارهای دومتغیره تغییر جرم (الف) CaO ، (ب) K_2O و (ج) Na_2O در برابر CIA (شاخص شیمیابی دگرسانی) در توده گرانیتوییدی آستانه



شکل ۹- تغییر میزان شاخص شیمیابی دگرسانی در زون‌های دگرسانی منطقه آستانه

کتابنگاری

- خوئی، ن.، ۱۳۶۱- زایش طلا در گرانیتهاي آستانه، گزارش داخلی سازمان زمین‌شناسی کشور.
رادفر، ج.، ۱۳۶۶- بررسی زمین‌شناسی و پترولوزی سنگهای گرانیتوئیدی ناحیه آستانه-گوش، پایان‌نامه کارشناسی ارشد، دانشگاه تهران، دانشکده علوم، ۱۰۹ صفحه.
سهنه‌دی، م.ر.، رادفر، ج.، حسینی‌دوست، س.چ.، مجله، م.، ۱۳۸۵- نقشه زمین‌شناسی ۱:۱۰۰۰۰ شازند، سازمان زمین‌شناسی و اکتشافات معدنی کشور برگ شماره ۵۸۵۷.
هاشمی، م.، ۱۳۸۰- نحوه کانی‌سازی طلا در آستانه اراک، پایان‌نامه کارشناسی ارشد، دانشگاه تربیت معلم، دانشکده علوم، ۱۵۰ صفحه.

References

- Alderton, D. H., M., Pearce, J. A., Potts, P. J., 1980- Rare earth element mobility during granite alteration: evidence from southwest England. Earth Planet Sci. Lett. 49: 149-165.
- Brimhall, G. H. & Ghiorso, M. S., 1983- Origin and ore-forming consequence of the advance argillic alteration process in hypogene environments by magmatic gas contamination of meteoric fluids. economic geology, 78: 73-90.
- Carten, R. B., 1986- Sodium-calcium metasomatism: chemical, temporal, and spatial relationships at the Yerington, Nevada, porphyry copper deposit, economic geology, 81: 1495-1519.
- Cox, K. G. & Bell, J. D. & Pankhurst, R.G., 1979- The interpretation of igneous rocks: London, George Allen 8 unwin, 450p.
- Fedo, C. M. & Nesbitt, P. & Young G.M., 1995- Unraveling the effect of potassium metasomatism in sedimentary rocks and paleosols, with implications for paleoweathering conditions and provenance, Geology, 23: 363-381.
- Fulignati, P. & Gioncada, A. & Sbrana, A., 1998- Rare earth element behaviour in the alteration facies of the active magmatic-hydrothermal system of Volcano (Aeolian Islands, Italy). Jurnal of Volcanology and geothermal research, 88: 325-342.

- Grant, J. A., 1986- The isocon diagram – a simple solution to Gresen's equation for metasomatic alteration, *Economic Geology*, 81: 1976- 1982.
- Gresens, R. L., 1967- Composition-volume relationships of metasomatism, *Chemical Geology*, 2: 47-55.
- Hemley, J. J., Hunt, J. P., 1992- Hydrothermal ore-forming processing in the light of studies in rock-buffered systems II, some general geological applications. *Econ Geol*, 87:23-43.
- Lowenstern, J. B., 2001- Carbon dioxide in magmas and implications for hydrothermal systems, *Mineralium Deposita*, 36: 490-502.
- MacLean, W. H. & Kranidiotis, P., 1987- Immobile elements as monitors of mass transfer in hydrothermal alteration: Phelps Dodge massive sulfide deposits, Matagami, Quebec, *Economic Geology*, 82: 951-962.
- MacLean, W. H., 1990- Mass change calculations in altered rocks series, *Mineralium Deposita*, 25: 44-49.
- Mason, B., Moore, C.B., 1982- Principles of Geochemistry. John Wiley & Sons, New York, 344 pp.
- Michard, A., 1989- Rare earth element systematics in hydrothermal fluid, *Geochim. Cosmochim. Acta*, 53: 745-750.
- Mori, Y. & Nishiyama, T. & Yanagi, T., 2003- Mass transfer paths in alteration zones around carbonate veins in the Nishisonogi Metamorphic Rocks, southwest Japan, *American Mineralogist*, 88: 611-623.
- Nesbitt, H. W. & Markovics G. & Price R.C., 1980- Chemical processes affecting alkalis and alkaline earths continental weathering, *Geochemica et cosmochimica acta*, 44: 1659-1666.
- Nessbitt, H. W. & Young G. M., 1982- Early proterozoic climate and plate motions inferred from major element chemistry of lutites, *Nature*, 299: 715-717.
- Palacios, C. M., Hein, U. F., Dulski, P., 1986- Behaviour of rare earth elements during hydrothermal alteration at the Buena Esperanza copper-silver deposit, northern Chile, *Earth Planet. Sci. Lett.* 80: 208-216.
- Pascual, E., Toscano, M., Almodoa var, G. R., Sanchez, 1997- Zirconium mobility in footwall hydrothermal haloes in the Iberian Pyrite Belt: geochemical and textural evidence. In: Barga, F.J.A.S. (Ed), Neves-Corvo SEG Field Conference, Lisbon, Portugal, 11±14 May 1997: Abstracts and program volume, 81.
- Pirajno., 1992- Hydrothermal Mineral deposits, 703p.
- Rollinson H. R., 1993- Using Geochemical Data: Evaluation, Presentation, Interpretation. Longman Scientific & Technical, 352 p.
- Seewald, J. S., Seyfried, W. E., 1990- The effect of temperature on metal mobility in sub-seafloor hydrothermal systems: constraints from basalt alteration experiments. *Earth Planet. Sci. Lett.* 101: 388-403.
- Titley, S. R. & Bean, R. F., 1981- Porphyry copper deposits. *Economic Geology*, 75:214-269.
- Vanmiddelaar, W. T. & Keith, J. D., 1990- Mica chemistry as an indicator of oxygen and halogen fugacities in the Can Tung and other W-related granitoids in the North American cordillera. *Ore bearing granite system*, pp 205-220.
- Wendlandt, R. F. & Harison, W. J., 1979- Rare earth partitioning between immiscible carbonate and rare earth enriched rocks, *Cotri 6. Mineral. Petrol.*, 69: 409-419.
- Wood, S. A., 1990- The aqueous geochemistry of the rare earth elements and yttrium: 2. Theoretical prediction of speciation in hydrothermal solutions to 350°C at saturation water vapour pressure. *Chemical Geology*, 88: 99-125.